

مدل رسوبی، دیاژنر و ژئوشیمی سازند سفیدکوه (اسکیتین پسین) واقع در پنجره تکتونیکی آق‌دربند، شمال شرق ایران

محسن لیاقت^۱، محمد حسین آدابی^۲

۱- کارشناسی ارشد رسوب‌شناسی و سنگ‌شناسی رسوبی، دانشکده علوم زمین، دانشگاه شهید بهشتی

۲- استاد، دانشکده علوم زمین، دانشگاه شهید بهشتی

پذیرش مقاله: ۱۳۹۶/۲/۲۹

تأیید نهایی مقاله: ۱۳۹۶/۱۲/۱۸

چکیده

رسوب‌گذاری کربنات‌های کم‌عمق در خلال تریاس پیشین در شمال شرق ایران (سازند سفیدکوه: در پنجره آق‌دربند) شاخص است. این سازند به سن اسکیتین پسین در برش نمونه با ناپیوستگی بر روی سازند قرقیطان واقع شده و به طور ناپیوسته نیز در راس با سازند نظرکرده پوشیده می‌شود. این سازند به منظور ارزیابی مدل رسوبی، کانی‌شناسی اولیه کربناته و فرآیندهای دیاژنزی در برش‌های کال فقیر (۲۱۵ متر)، کال انگور (۷۵ متر)، کال غالک (۷۰ متر) و کال عنابه (۳۰ متر) با استفاده از مطالعات پتروگرافی و آنالیزهای ژئوشیمیایی مورد بررسی قرار گرفت. مطالعات پتروگرافی منجر به تشخیص ۱۲ ریزرساره که در چهار کمربند رخساره‌ای: جزرومدی، لاغون و سد واقع در رمپ داخلی و ریزرساره‌های دریای باز مربوط به رمپ میانی و خارجی، شد. فراوانی رسوبات جزرومدی همراه با رخساره‌ایی‌دی سدی و نبود سد بزرگ ریفی و رسوبات توربیدیتی (calciturbidite) حاکی از رسوب‌گذاری این سازند در یک سیستم رمپ هم‌شیب کربناته می‌باشد. فراوانی اجزاء اسکلتی و غیر اسکلتی از جنس آراغونیت همراه با سیمان آراغونیتی، اایید قالبی (oolith) و حضور دولومیت همراه با مقدار بالای عنصر استرانسیوم (Sr) اشاره به کانی‌شناسی اولیه آراغونیت در کربنات‌های سازند سفیدکوه در زمان تشکیل دارد. فرآیندهای دیاژنزی در این سازند شامل: سیمانی شدن، دولومیتی شدن، ددولومیتی شدن، میکریتی شدن، آشفتگی زیستی، هماتیتی شدن، فشردگی، انحلال، پرشدگی رگه، فسفاتی شدن، پیریتی شدن و استیلولیتی شدن می‌باشند. مهم‌ترین فرآیند دیاژنزی در این سازند سیمانی شدن و دولومیتی شدن بوده که نهشته‌های سازند سفیدکوه را تحت تاثیر قرار داده‌اند. مقادیر عناصر اصلی (Ca و Mg) و عناصر فرعی (Sr, Na, Fe و Mn) (همچون مقادیر بالای Sr) نشان از رسوب‌گذاری سازند سفیدکوه در محیط نیمه‌حاره‌ای کم‌عمق بوده و آراغونیت مینرال‌وژی اولیه بوده است. تغییرات Sr/Ca حاکی از رخداد دگرسانی دیاژنز در سیستم بسته تا کاملاً باز، با واکنش بالای آب/سنگ که دولومیتی شدن، انحلال و سیمانی شدن در مطالعات پتروگرافی موید آن است.

واژه‌های کلیدی: آق‌دربند، دیاژنر، ژئوشیمی، سازند سفیدکوه، مدل رسوبی.

Email: liaghat.mohsen@yahoo.com

* - نویسنده مسئول: ۰۹۱۹۸۱۷۶۹۹۴

(در برش کال فقیر) توصیفی جامع از شرایط رسویی این سازند صورت گرفته است.

محدوده مورد مطالعه

چینه‌شناسی تریاس در ایران و ناحیه مورد مطالعه در گذر پالئوزوییک به تریاس، شرایط رسوب‌گذاری همچون پالئوزوییک در اکثر نواحی ایران پلاتفرمی است که حاصل آن سنگ آهک‌ها و دولومیت‌هایی است که در محیط جزو مردمی انباشته شده‌اند و سن تریاس پیشین و میانی دارند (آقاباتی، ۱۳۹۰) (شکل ۱ a). رخساره سنگ‌های رسویی تریاس در پنجره تکتونیکی آق‌دریند شامل سازندهای سفیدکوه، نظرکرده، سینا، میانکوهی و قلعه‌گبری است (شکل ۱ b)، که در یک حوضه فشارشی تشکیل شده‌اند (زانچتا، ۲۰۱۳). رخساره سنگ‌های رسویی تریاس در پنجره تکتونیکی آق‌دریند (شکل ۲ a) با رسوبات این زمان در ناحیه نخلک شباهت دارند (بالینی و همکاران، ۲۰۰۹). در ناحیه مورد مطالعه سازند سفیدکوه در ۴ برش رخنمون که به ترتیب از سمت غرب به شرق شامل برش‌های: کال فقیر، کال انگور، کال عنابه و کال غالک هستند، مطالعه شد (شکل ۲ b). برش کال فقیر ۲۱۵ متر ضخامت داشته که سازند قره‌قیطان به صورت ناپیوستگی فرسایشی در قاعده و در راس سازند سینا به طور دگرشیب واقع شده‌اند. از لحظه لیتولوژی این برش شامل: ۱۵ متر سنگ‌های آتشفسانی (از نوع آذرآواری) در قاعده بوده و در ادامه حدود ۲۰ متر سنگ آهک متوسط تا ضخیم لایه و کرم رنگ همراه با میان لایه‌های مارن و شیل قرار دارد که در بخش‌های انتهایی متشكل از سنگ آهک‌های متوسط تا ضخیم لایه و نیز میان لایه توفی است (شکل ۳). این سازند در برش کال انگور با حدود ۷۵ متر ضخامت متشكل از سنگ آهک‌های ضخیم لایه خاکستری، کرم و سفید رنگ با

مقدمه

پنجره تکتونیکی آق‌دریند واقع در لبه جنوبی صفحه توران در شمال شرق ایران از رخساره ویژه‌ای مربوط به اواخر پالئوزوییک تا تریاس بالایی برخوردار می‌باشد (علوی و همکاران ۱۹۹۷؛ زانچی و همکاران ۲۰۱۲). در این ناحیه رخنمون‌هایی از سنگ‌های تریاس به صورت نواری با روند غرب، شمال غرب در یک زون فلسفی^۱ رخنمون یافته‌اند (هنریکس و گرگوری، ۲۰۰۱؛ زانچی و همکاران، ۲۰۰۹ و ۲۰۱۲)؛ که به واسطه مطالعات پیشین این نظریه تایید شده‌است (افشار‌حرب، ۱۹۷۹؛ علوی و همکاران، ۱۹۹۷؛ باد و همکاران، ۱۹۹۱؛ باد و برندر، ۱۹۹۱؛ روتتر، ۱۹۹۱ a,b، ۱۹۸۴ و ۱۹۹۳؛ کریستیان و تاتزرت، ۱۹۹۱). وجود پاره‌ای از ویژگی‌های زمین‌شناختی متفاوت نسبت به دیگر نواحی ایران سبب شده تا آق‌دریند و کپه داغ به عنوان لبه جنوبی صفحه توران در نظر گرفته شوند (آقاباتی، ۱۳۸۸). برای نخستین بار روتتر در سال ۱۹۸۴ سنگ‌های تریاس دارای سنگواره در این ناحیه را سازند آق‌دریند نامید. این محقق در مطالعات بعدی (روتنر، ۱۹۹۱) این سازند را به گروه ارتقاء داده و چهار سازند در این گروه معرفی نموده است که به ترتیب از پایین به طرف بالا در ستون چینه‌شناسی عبارتند از: سازند آهکی سفیدکوه، سازند نظرکرده، سازند آتشفسانی سینا و سازند شیلی میانکوهی (لیاقت، ۱۳۹۱). مطالعه کنودونت‌ها، آمونیت‌ها و جلبک اسیکولاریا حاکی از تعلق سازند سفیدکوه با سن اسکیتین پسین (روتنر، ۱۹۹۱)، به گروه آق‌دریند بوده و بخشی از رسوبات رخساره استثنایی تریاس در شمال شرق ایران می‌باشد (باد و برندر، ۱۹۹۱). با تکیه بر مشخصات سنگ‌شناسی (مشخصات ماکروسکوپی و میکروسکوپی)، فسیل‌ها و برخی عوارض دیاژنری اولیه و تلفیق داده‌های ژئوشیمیایی عناصر فرعی

مونیک، ۲۰۱۰) صورت گرفت. ۲۰ نمونه به منظور شناسایی مینرالوژی کلسیت و دولومیت توسط رنگ آمیزی به روش (دیکسون، ۱۹۶۱) در مطالعات میکروسکوپ پلاریزان انتخاب شدند.

بحث و نتایج

رسوب‌گذاری سازند سفیدکوه (با سن تریاس پیشین) در دریای کم عمق و در عرض‌های جغرافیایی نیمه‌حاره‌ای^۳ صورت گرفته است. با بررسی مقاطع نازک و مطالعات صحرایی سازند سفیدکوه در پنجره آق‌دریند، ۱۲ ریزرساره رسوبی تعیین شده که نشان‌دهنده محیط رسوب-گذاری کم‌شیب در یک رمپ کربناته است. فراوانی رسوبات جزو‌مدی همراه با رخساره‌اییدی سدی و نبود سد بزرگ ریفی و رسوبات توربیدیاتی حاکی از یک سیستم رمپ هم‌شیب کربناته در این سازند می‌باشد. عدم تغییر ناگهانی در ریزرسارها در این سازند حاکی از رسوب‌گذاری این سازند در یک رمپ هم‌شیب کربناته است. در چهار برش مطالعه شده انواعی مختلف آلوکم‌های اسکلتی و غیر اسکلتی وجود دارد. حضور پشت‌های گلی مربوط به کمربند رخساره‌ای دریای باز (بخش کم عمق) در این سازند، نشان از شرایط مساعد جهت فعالیت میکروب‌ها در این بخش از حوضه‌ی رسوبی است. سیمانی شدن و دولومیتی شدن مهم‌ترین و گسترده‌ترین فرآیندهای دیاژنزی در این سازند هستند. از دیگر فرآیندهای دیاژنتیکی انحلال، تراکم (فیزیکی و شیمیایی) و میکرایتی شدن، آهن‌دار شدن، پیریتی شدن و فسفاتی شدن را می‌توان نام برد. براساس مطالعات پتروگرافی ۵ نوع دولومیت شامل دولومیکرات، دولومیکرواسپارایت، دولواسپارایت، دولومیت زین اسبی و سیمان دولومیتی در این سازند شناسایی شده است. نتایج حاصل از آنالیزهای عنصری و ترسیم این مقادیر در

شکستگی فراوان در برخی از لایه‌ها است. رسوبات پالئوزوییک و سازند نظرکرده به ترتیب در قاعده و راس سازند سفیدکوه در این برش واقع شده‌اند (شکل ۴). برش کال‌غالک با ۷۰ متر ضخامت در قاعده با ناپیوستگی به رسوبات پالئوزوییک و در مرز بالایی با دگرشیبی با سازند سینا در تماس است (شکل ۵). سنگ‌آهک ضخیم لایه، متوسط و نازک لایه و در قسمت‌هایی سنگ‌آهک توده‌ای کرم تا تیره‌رنگ (گاهی برشی شده) عمده لیتوژوژی سازند سفیدکوه در این برش می‌باشد. در برش کال عنابه این سازند با ناپیوستگی با ضخامتی حدود ۳۰ متر در قاعده به سازند قره‌قیطان و در راس با ناپیوستگی به سازند سینا منتهی می‌شود (شکل ۶). رخمنون-های سطحی سازند سفیدکوه واقع در حوضه رسوبی کپه‌داغ، در پنجره تکتونیکی-فرسایشی آق‌دریند (در جنوب شرقی شهر مشهد) و در نزدیکی روستای قره‌قیطان قابل دسترسی هستند (شکل ۲ b). در این مطالعه برش کال فقیر که در غربی‌ترین سمت منطقه مورد مطالعه قرار دارد با فاصله ۴ کیلومتری از برش کال انگور واقع شده است. به سمت شرق برش کال عنابه با فاصله دو کیلومتری از برش کال انگور واقع شده که نسبت به برش کال‌غالک که در سمت شرق آن قرار گرفته ۲ کیلومتر فاصله دارد.

مواد و روش‌ها

سازند سفیدکوه در چهار برش رخمنون کال فقیر، کال انگور، کال عنابه و کال‌غالک مورد مطالعه قرار گرفت. جهت مطالعات پتروگرافی ۳۲۰ نمونه سنگی، به روش نمونه برداری انتخابی^۱ در صحراء برداشت شد. نام‌گذاری ریزرسارهای کربناته مقاطع نازک میکروسکوپی با استفاده از تقسیم بندی (دانهام، ۱۹۶۲) صورت گرفتند. شناسایی، ردیه‌بندی و تفکیک ریز رخساره‌ها و محیط رسوبی با استفاده از مدل رخساره‌ای رمپ فلوگل (فلوگل و

طور کم و جزی در برخی از مقاطع نازک متعلق به این ریزخساره پلوویدهای میکروبی، به صورت درجا باعث ایجاد فابریک گروملوس^۶ شده‌اند. فابریک-های چشم پرنده‌ای و لخته‌ای^۷ در برخی مقاطع این ریزخساره نیز مطالعه شدند (شکل ۷(a)). این بافت مربوط به محیط سوپراتایdal است (آدابی و همکاران، ۲۰۱۵؛ فلوگل و مونیک، ۲۰۱۰).

جلبک‌های موجود در بخش جزو مدی با عمل تخمیر منجر به ایجاد فابریک فنستراال به صورت حفره حفره درون رسوبات گلی شده و این ریز-ریزخساره را تشکیل داده‌اند. در بیشتر موارد این حفرات توسط سیمان پر شده است. این ریزخساره قابل انطباق با (RMF 23) مدل رسوب‌گذاری فلوگل است.

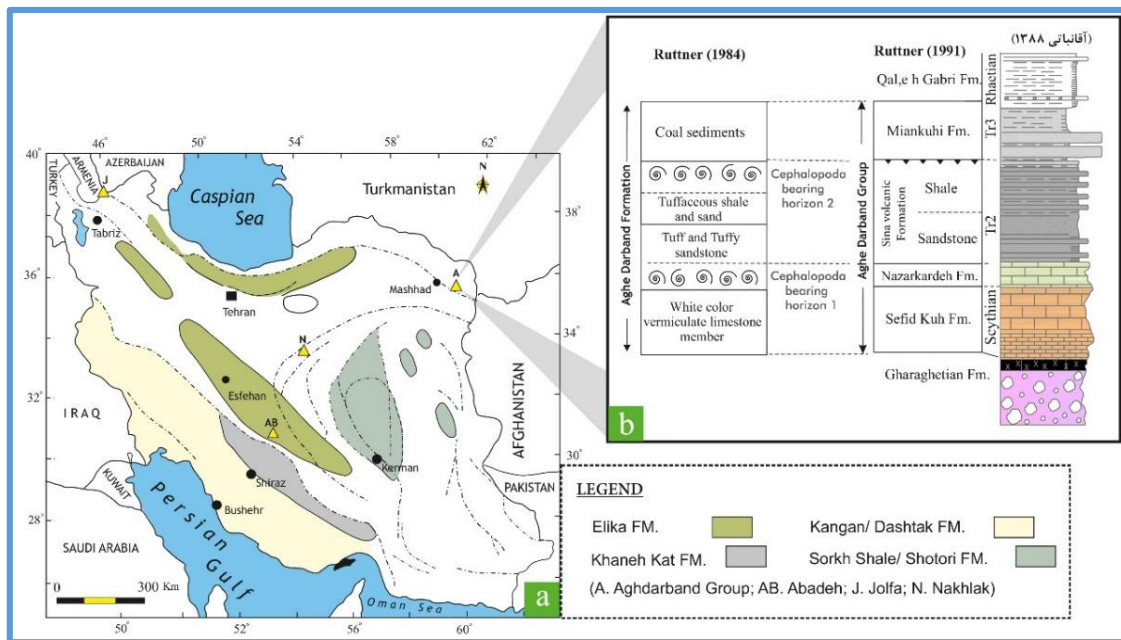
A₂-انکوپید پکستون^۸: عملکرد جلبک‌ها در محیط جزو مدی باعث ایجاد پوشش میکریتی در اطراف بیوکلاست‌های موجود در این ریزخساره شده است (شکل ۷(b)). اصلی‌ترین فسیل‌ها شامل جلبک، پلاسی پود، گاستروپودها و بیوکلاست‌های متبلور شده هستند که بر اثر دیاژنر ساختارهای داخلی و اجزا فسیل‌ها دچار انحلال و مجدداً متبلور شده‌اند. در برخی از بخش‌ها شکستگی‌هایی وجود دارد که به عنوان مجرای انتقال سیال عمل کرد و در نهایت با سیالات سیمانی شده‌اند. شکستگی‌ها و سیمانی شدن از رویدادهای دیاژنری موجود در این ریزخساره می‌باشند. هرچند این ریزخساره می‌تواند به محیط لاگون نیز تعلق داشته باشد اما توجه به ریزخساره‌های پیرامون، این ریزخساره به محیط جزو مدی تعلق داشته و منطبق با (RMF21) در مدل رسوب‌گذاری فلوگل است.

مقابل یکدیگر در سازند سفیدکوه و در برش کال فقیر، حاکی از کانی‌شناسی اولیه آراغونیتی برای این سازند است. قرارگیری نمونه‌های کربناته سازند سفیدکوه در حوالی محدوده رسوبات آراغونیتی آهک‌های گوردون تاسمانیا (استرالیا) و مزدوران ایران حاکی از تشکیل این سازند در شرایط محیطی مشابه با سازند مزدوران می‌باشد. نسبت Sr/Ca در مقابل Mn حاکی از یک سیستم دیاژنیتیکی بسته تا کاملاً باز است. بالا بودن نسبت Sr/Na تاییدی بر ترکیب کانی‌شناسی اولیه آراغونیتی است. وجود ایده‌های قالبی^۹ و سیمان هم ضخامت حاشیه‌ای این نتیجه‌گیری را در مطالعات پتروگرافی تایید می‌کند.

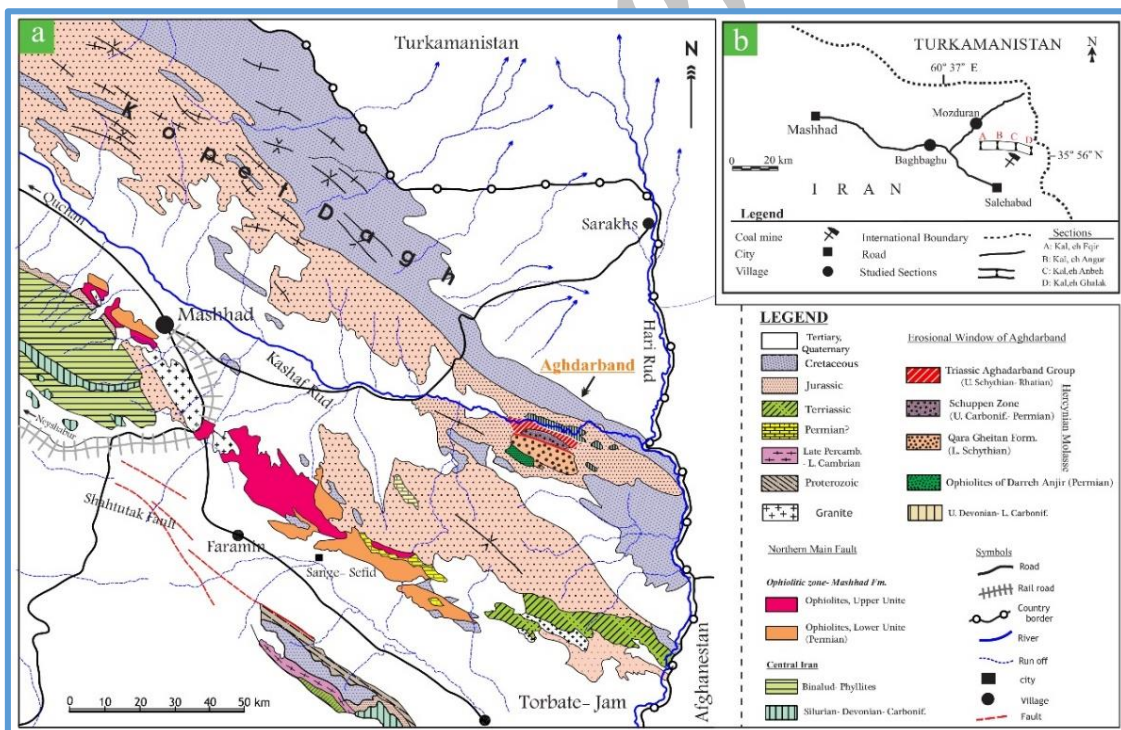
ریزخساره‌ها و مدل رسوب‌گذاری
مطالعه پتروگرافی ۳۲۰ مقطع نازک در چهار برش سطح اراضی از سازند سفیدکوه در پنجره آق دربند-جهت تفسیر و ارائه مدل رسویی با توجه به مدل-های رسوب‌گذاری فلوگل (فلوگل و مونیک، ۲۰۱۰؛ و مدل رسویی ویلسون (ویلسون، ۲۰۱۳)؛ مدل رسوب‌گذاری این سازند منطبق با رمپ فلوگل (فلوگل و مونیک، ۲۰۱۰) می‌باشد. بر این اساس در ادامه ریزخساره‌ها کم‌عمق حوضه رسویی به سمت محیط عمیق توضیح داده می‌شوند. مدل رسویی همراه با ریزخساره‌های مطالعه شده در (شکل ۸(a)) نمایش داده شده است که در کل این محیط به یک حوضه فشارشی (شکل ۸(b)) تعلق دارد.

رمپ درونی

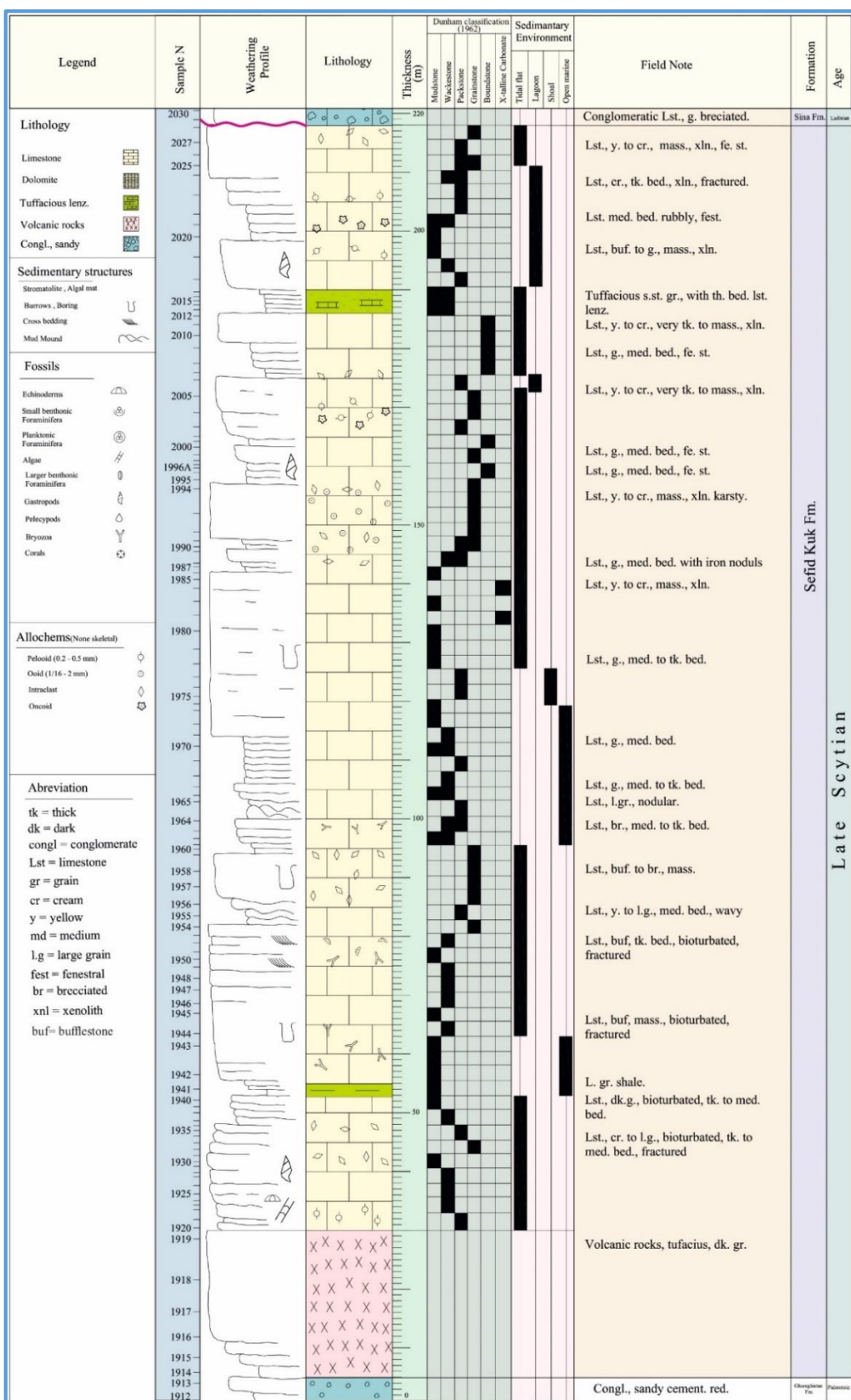
A₁-فنستراال مادستون^{۱۰}: این ریزخساره عمدتاً متشكل از مادستون همراه با ساختارهایی چون فستراال، گروملوس و فابریک چشم پرنده است. به



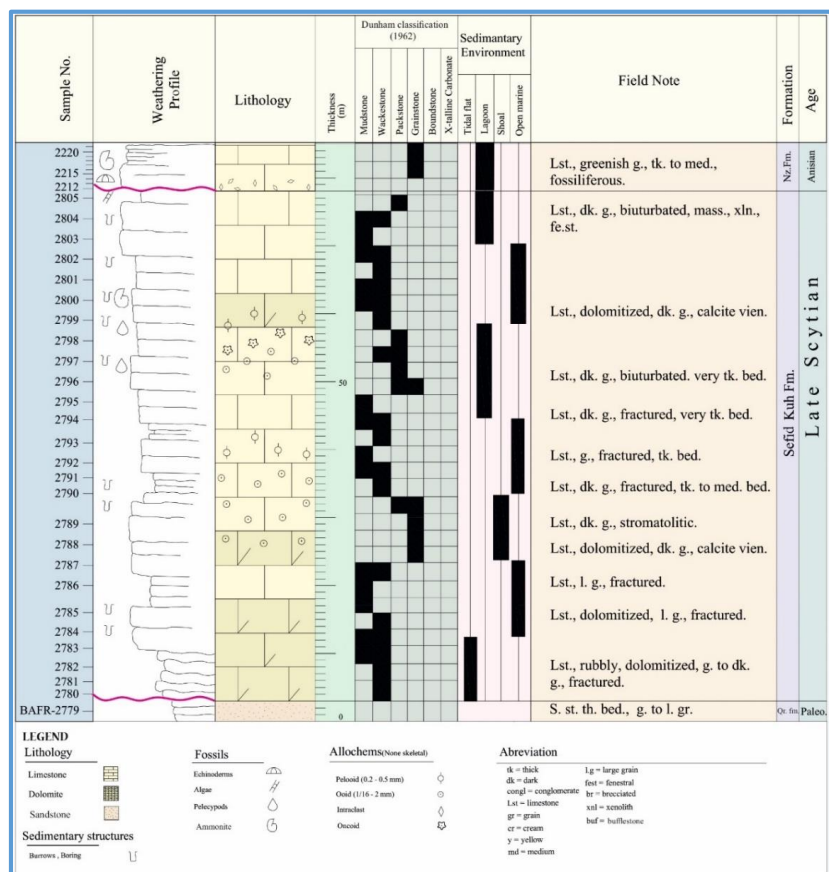
شکل ۱: (a) پراکندگی رسوبات تریاس در نقاط مختلف ایران (با تغییرات از سید امامی، ۲۰۰۳)؛ (b) ستون چینه‌شناسی رسوبات تریاس در پنجره تکتونیکی آق‌دربند (شمال شرق ایران) توسط مطالعات محققین پیشین (لیاقت، ۱۳۹۴).



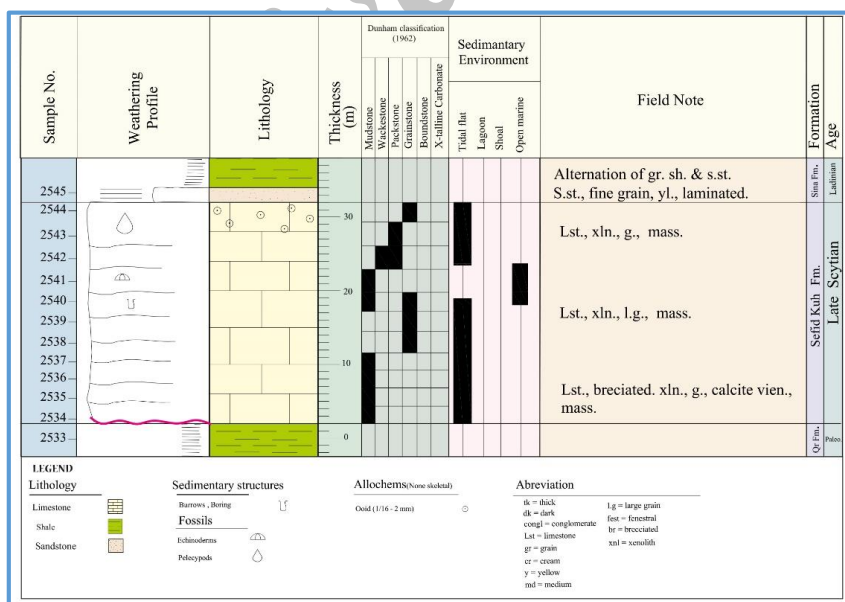
شکل ۲: (a) موقعیت کپه داغ و پنجره فرسایشی آق‌دربند، در شمال شرق ایران (با تغییرات از روتнер، ۱۹۹۱(a)); (b) چهار برش مطالعه شده از سازند سفیدکوه (لیاقت، ۱۳۹۱).



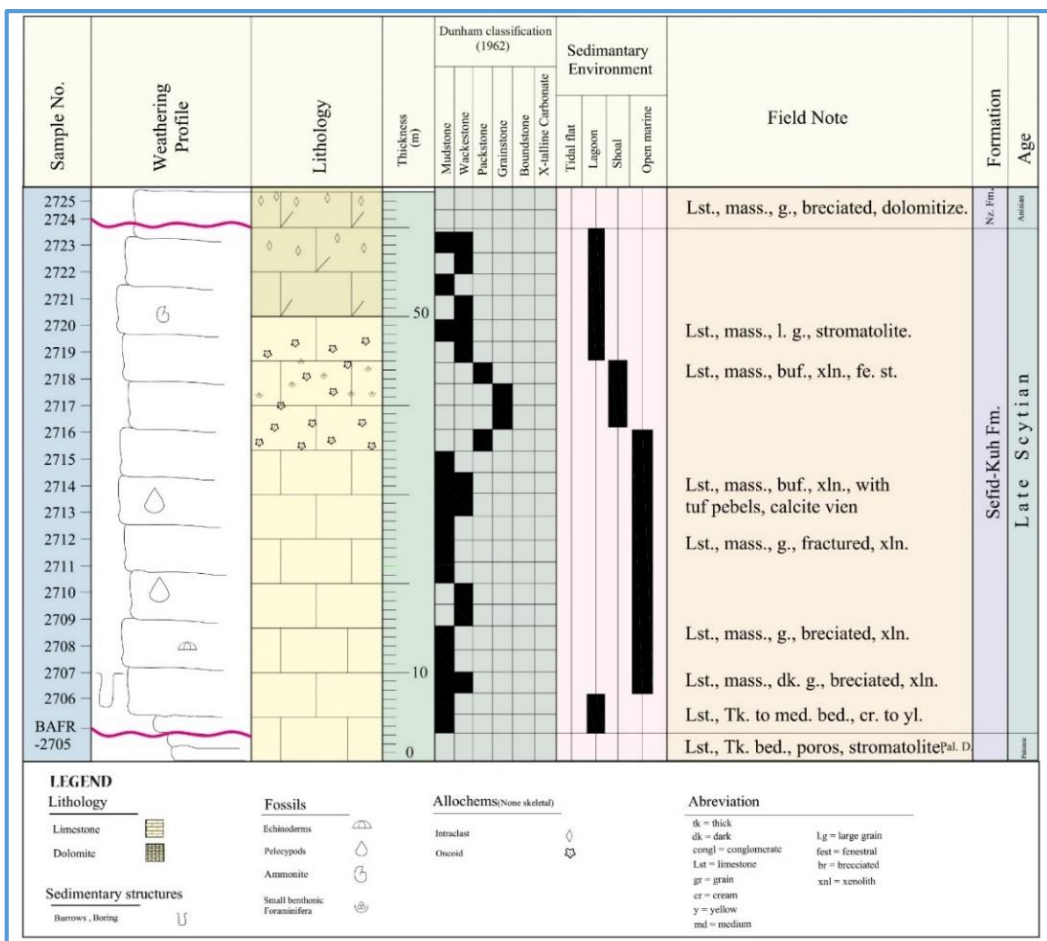
شکل ۳: ستون چینه‌شناسی سازند سفیدکوه در برش کال فقیر (لياقت، ۱۳۹۱).



شکل ۴: ستون چینه‌شناسی سازند سفیدکوه در برش کال انگور (لياقت، ۱۳۹۱).



شکل ۵: ستون چینه‌شناسی سازند سفیدکوه در برش کال عنايه (لياقت، ۱۳۹۱).



شکل ۶: ستون چینه‌شناسی سازند سفیدکوه در برش کال غالک (لياقت، ۱۳۹۱).

پیرامون این ریزرساره در طول ستون چینه‌شناسی ریزرساره‌های جزو مردمی شناخته شدند (لياقت، ۱۳۹۱).

A4-ایدگرین استون؛ فراوانی بالای ایدها بیش از حدود ۶۰ درصد و نیز اینتراکلست‌ها (کمتر از ۵ درصد) که به طور پراکنده در زمینه‌ای از سیمان واقع شده، از ویژگی‌های این ریزرساره است (شکل ۷ d). ایدها بیشتر از نوع سطحی^{۱۱} بوده که در کنار آن‌ها انواع شعاعی نیز تا حدودی وجود دارد. ویژگی بارز این ایدها وجود لایه‌های میکریتی و اسپارایتی متناوب پیرامون هسته متبلور شده است که نشان دهنده تغییرات شوری آب در زمان تشکیل می‌باشد؛ که این ویژگی خاص ایده‌های موجود در کانال‌های واقع در محیط

-Bیوکلاست و کستون با آشفتگی زیستی^۹: گاهی اوقات در پهنه جزو مردمی میکروب‌ها به صورت گسترده وجود دارد و با توجه به بالا بودن مواد آلی در این قسمت مکان مناسبی برای موجودات مختلف مانند شکم پایان و یا برخی دوکفه‌ای‌ها است (شول و اسپرینگ، ۱۹۹۸). در پهنه جزو مردمی برش کال انگور از سازند سفیدکوه بخش‌هایی از رسوبات در برگیرنده فسیل دوکفه‌ای‌ها با فراوانی حدود ۵ تا ۱۰ درصد و یا شکم پایان بوده که با توجه به ترکیب آراغونیت یا کلسیت پرمیزیم دچار انحلال و سیمانی شده‌اند. در بخش‌هایی که این فسیل‌ها وجود دارند عملکرد آشفتگی زیستی نیز وجود دارد (شکل ۷ c). موقعیت این ریزرساره در محدوده اینترتايدال در نظر گرفته شده است. در

B3-بیوکلاست پلوبید گرین استون^۶: بیوکلاست‌های متتنوع و فراوان در اندازه‌های گوناگون که تحت تاثیر دیاژنر قرار گرفته و دچار انحلال شده‌اند همراه با سیمان کلسیت شفاف در زمینه همراه با مقدار کمی میکریت، از عناصر موجود در این ریزرساره می‌باشند (شکل ۷ g). پلوبیدها ما بین بیوکلاست‌ها قرار دارند. شکم‌پایان در برش طولی و عرضی، قطعاتی از اکینودرم‌ها و دیگر بیوکلاست‌ها با پیرامونی میکریتی شده (کورتوبید)، جلبک داسی-کلاداسه و فرامینیفرها میکریتی شده عمدۀ اجزای این ریزرساره می‌باشند. انحلال و سیمانی شدن بیوکلاست‌ها و فسیل‌ها، میکریتی شدن برخی بیوکلاست‌ها عمدۀ ترین تاثیر دیاژنر موجود در این ریزرساره هستند. این ریزرساره به نواحی لاجون نزدیک سد^۷ با ارتباط آزاد با دریای باز در سازند سفیدکوه در نظر گرفته شد.

C1-ایید گرین استون: این ریزرساره دارای فراوانی بالای اییدها (بیش از ۶۰ درصد) از قبیل اییدهای مماسی^۸، می‌باشد (شکل ۷ h). عدم یکدست بودن مقطع نازک این ریزرساره از لحظه ساختی عملکرد دیاژنر را نشان می‌دهد، به طوری که در بخش‌هایی سیمانی شدن و انحلال به مقدار زیاد تاثیرگذار بوده و نتیجه آن تشکیل ایید قالبی^۹، و یا انحلال کامل اییدها و زمینه می‌باشد. وجود سیمان اسپاریتی از جنس کلسیت در زمینه نشان دهنده تشکیل این ریزرساره در محیط پر از ارثی می‌باشد. این ریزرساره در برش‌های چینه‌شناسی کال فقیر و کال انگور مطالعه شد. از فرآیندهای دیاژنر تراکم، که باعث تغییر شکل اییدها، سیمانی شدن پس از تراکم که باعث فاصله گرفتن اییدها، انحلال و سیمانی شدن اییدها، دولومیتی شدن هسته اییدها و یا تشکیل سیمان دولومیتی ما بین ذرات موجود در این ریزرساره می‌باشند.

اینترتايدال است (ویلسون، ۲۰۱۳). این ریزرساره در برش کال فقیر و به دنبال رسوبات نواحی جزر و میان طول ستون چینه‌شناسی قرار گرفته و در ادامه آن رسوبات محیط لاجون قرار گرفته‌اند. **B1**-پلوبید پکستون^{۱۰}: این ریزرساره اساساً حاوی آلوکم‌های متعلق به لاجون می‌باشد که می‌توان در این میان کوپروپلیت^{۱۱} و پلت، دانه‌های اگرگات و یا جلبک‌ها، فرامینیفرهایی که به سبب میکریتی شدن ناشناخته هستند، شکم‌پایان و استراکودا که در این محیط وجود دارند را نام برد (شکل ۷ e). به مقدار بسیار اندکی (کمتر از ۵ درصد) برخی از بیوکلاست‌های موجود در این محیط بر اثر فعالیت جلبک‌ها دارای پوشش میکریتی شده و به انکوپید تبدیل شده و ذرات پلت به طور نامنظم و پراکنده در بخش‌های مختلف وجود دارد. لازم به ذکر است که تاثیر موجودات در این ریزرساره باعث ایجاد به هم ریختگی زیستی شده است.

B2-بیوکلاست پکستون با آشفتگی زیستی^{۱۲}: آشفتگی زیستی شدید، وجود فرامینیفرها و شکم‌پایان در این ریزرساره غالب است. نکته مورد توجه وجود غیرمنتظره فسیل سفالوپودا (آمونیت) در این ریزرساره می‌باشد؛ که وجود آن ناشی از نحوی زندگی این موجودات شناگر است که همراه با جریان آب به صورت جابه جا شده^{۱۳} به این قسمت وارد شده‌اند (شکل ۷ f). این ریزرساره منطبق با (RMF20) در مدل رسوی فلوگل می‌باشد. وجود آشفتگی زیستی موجب به هم خوردگی بافت اصلی شده که در نتیجه تخلخل و تراوایی به هم خوردگه و در این قسمت‌ها پدیده سیمانی شدن نسبت به دیگر بخش‌ها زیادتر می‌باشد. فرآیندهای دیاژنر علاوه بر به هم ریختگی زیستی شامل انحلال پوسته فسیل‌های مربوط به مناطق کم عمق مانند شکم‌پایان و دیگر بیوکلاست‌ها و گاه‌ها میکریتی شدن آن‌ها می‌باشد.

موجود در این قسمت و بر جای ماندن فسیل و آثار آن‌ها پس از مرگ و میر می‌باشد (بوگس، ۲۰۱۵). در این ریزرساره آثار به هم ریختگی زیستی ناشی از فعالیت موجودات مخصوصاً آثار کرم‌ها در مقطع طولی و عرضی، و ساختار ناهمنگ که گاهای به تشکیل میکریت درجا منجر شده وجود دارد آثار به هم ریختگی هم ریختگی زیستی در رسوبات نرم^{۲۳} و نیز سربولیدها حاکی از تشکیل این عوارض در محیطی کم انرژی در زیر قاعده امواج طوفانی^{۲۴} در دریای باز می‌باشد.

D3-پکستون با سوزن اسفنج^{۲۵}: در این ریزرساره خردنهای ذرات اسفنج به صورت پراکنده در یک مادستون قهقهه‌ای رنگ پراکنده شده‌اند. این ریز-رساره در بخش‌های عمیق دریای باز قرار دارد. خردنهای اسفنج شامل سوزن‌های اسفنج در برش-های عرضی و طولی در این ریزرساره وجود دارد. این ریزرساره قابل انطباق با (RMF3) در مدل رسوب‌گذاری رمپ فلوگل است. ریز شکستگی‌ها نیز در این ریزرساره وجود دارد که با کلسیت پر شده است (شکل ۷k). اسفنج‌ها که می‌توانند به عنوان کلنی‌های غالب در بخش‌های عمیق شبیب حوضه تا اعماق بیش از ۵۰۰ متر باشند (وستفال و همکاران، ۲۰۱۰). در سازند سفیدکوه با توجه به موقعیت آن در ستون چینه‌شناسی و ریزرساره‌های پیرامون در محیط رمپ خارجی در نظر گرفته شده‌اند.

D4-اکینودرم آمونیت و کستون^{۲۶}: این ریزرساره که قابل انطباق با (RMF4) در مدل فلوگل است از زمینه کاملاً میکریتی تشکیل شده، حاوی قطعات خرده شده فسیل سرپایان (آمونیت) و تا حدودی اکینودرم است. از طرفی ریزرساره‌های مجاور نیز نشان می‌دهند که این ریزرساره متعلق به بخش-های دریایی باز و با توجه به فسیل‌ها (آمونیت و اکینودرم) منطبق با رمپ بیرونی است. انحلال و سیمانی شدن آمونیت‌ها و شکستگی‌های پر شده با

این ریزرساره قابل انطباق با (RMF29) مدل فلوگل است.

رمپ میانی

D1-بیوکلاست اکینودرم گرین‌استون: این ریز-رساره اساساً با ویژگی‌های خود نشان دهنده ارتباط آزاد بین محیط لagon و دریای باز در سازند سفیدکوه بوده و یا به عنوان ریزرساره سد به طرف دریا^{۲۰} در نظر گرفته می‌شود. این ریزرساره تا حدودی قابل انطباق با (RMF27) در مدل رسوب-گذاری رمپ فلوگل است. عمدترين فسیل موجود در این ریزرساره خردنهای و قطعات اکینودرم می-باشند. شکم‌پایان همراه با موجودات حساس به شوری مانند براکیوپودا، دوکفه‌ای‌ها که شرایط مساعد برای حفظ شدن آن‌ها یک محیط دریای باز است (بورلیک، ۲۰۱۵)، فسیل‌های موجود در این بخش می‌باشند. از ذرات آواری می‌توان کانی‌های فلدسپار با فراوانی کمتر از ۵ درصد که تا حدودی گرد شده‌اند، را نام برد. سیمانی شدن اصلی‌ترین فرآیند دیاژنر است (شکل ۷i).

رمپ خارجی

D2-مادستون با آشفتگی زیستی: در نگاه کلی این ریزرساره از سنگ آهک روشن رنگ که در بخش-هایی به علت وجود استیلولیت‌ها و بر جای ماندن مواد آلی و ناخالصی‌های دیگر به رنگ تیره در آمده و در آن به هم ریختگی شدید زیستی وجود دارد. از ویژگی رسوبات زمان تریاس وجود آثار کرم^{۲۱} که در اکثر رسوبات در مناطق مختلف دنیا در این زمان گزارش شده است (مونتلی، ۱۹۹۵) اساساً این ریز-رساره متعلق به پشت‌های گلی^{۲۲} می‌باشد (شکل ۷j) و قابل انطباق با (RMF8) فلوگل است. نکته بارز در مورد این پشت‌های بالا بودن تمرکز باکتری‌ها که به تشکیل میکریت منجر شده‌اند. حضور پوسته استراکودا و یا دوکفه‌ای‌های پوسته نازک و نیز کرم-ها به خاطر تعذیه این موجودات از میکروب‌های

خود شکل تا نیمه شکل (شکل ۱۰ g)، بلورهای بی‌شکل (شکل ۱۰ h)، همراه با بلورهای دولومیت نوع S (شکل ۱۰ i) مشاهده شدند. بلورهای دولومیت زین‌اسبی یا باروک که مربوط به مرحله دیاژنز تدفینی می‌باشد و دارای خاموشی موجی هستند نیز (برثوت و همکاران، ۲۰۰۴؛ آدابی و همکاران، ۲۰۱۵) در این سازند تشخیص داده شدند (شکل ۱۰ j). از دیگر فرآیندهای دیاژنز در این سازند می‌توان به ددولومیتی شدن (شکل ۱۰ k)، هماتیتی شدن (شکل ۱۰ l) و نیز میکریتی شدن (شکل ۱۱ a)، استیلوولیت‌ها (شکل ۱۱ b)، رگه‌ها (پر شده از دولومیت) (شکل ۱۱ c)، تخلخل حفره‌ای (شکل ۱۱ d)، پیریتی شدن (شکل ۱۱ e) و فسفاتی شدن (شکل ۱۱ f) اشاره نمود.

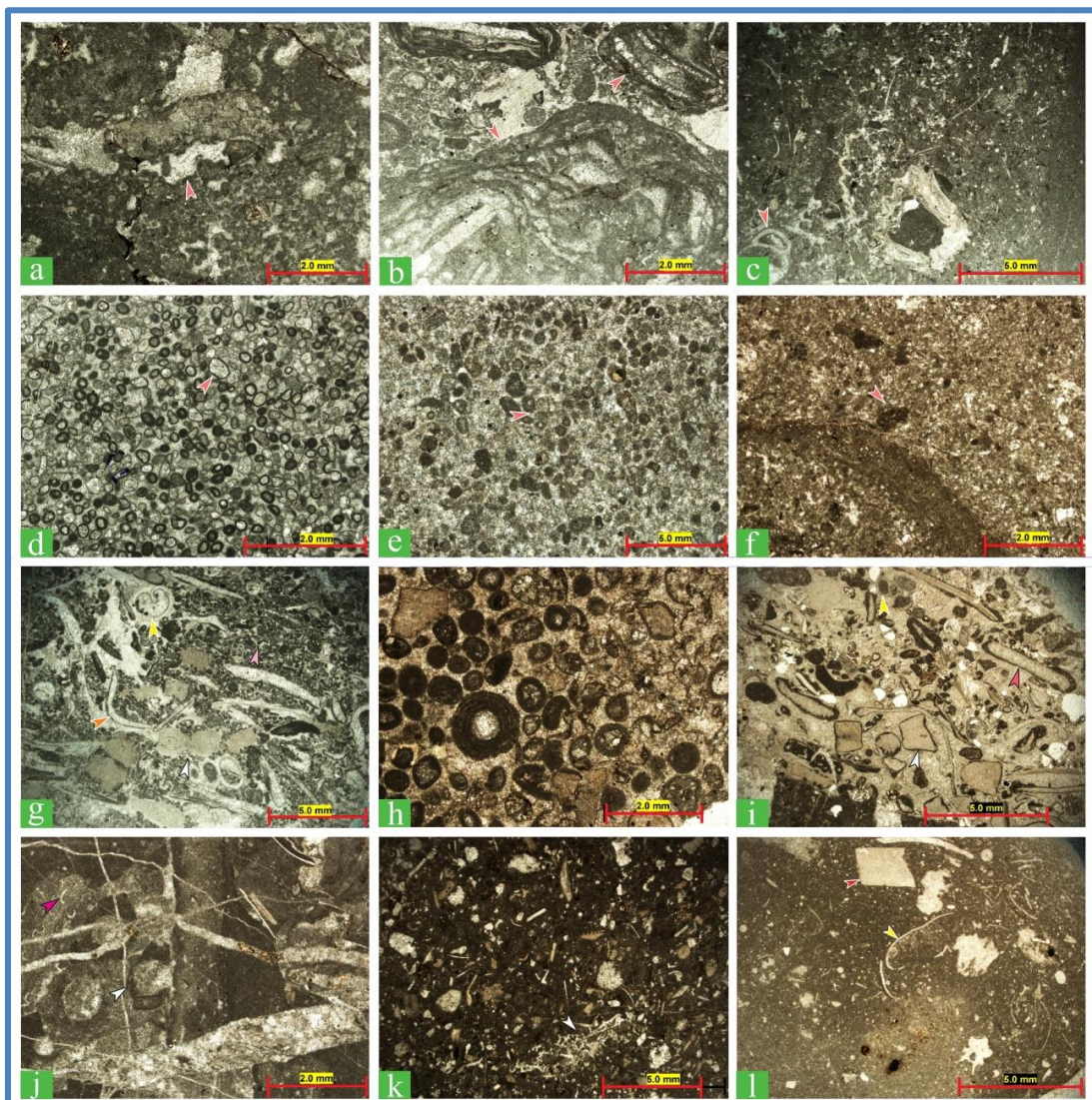
مطالعات ژئوشیمی

عناصر اصلی شامل (Ca, Mg) و عناصر فرعی از قبیل (Fe, Mn, Na, Sr) اساس آنالیزهای انجام شده بر روی نمونه‌های انتخاب شده می‌باشد. در این مطالعه آنالیزهای ژئوشیمیایی جهت شناخت کانی‌شناسی اولیه، سیستم دیاژنزی و تغییرات عناصر در نمونه‌های مورد مطالعه است. با توجه به تأثیرات دیاژنز بر روی سنگ‌ها و دگرسان شدن آن-ها تشخیص میترالوژی اولیه کلسیتی و آرگونیتی سنگ امکان‌پذیر نمی‌باشد (آدابی، ۱۳۹۰)؛ لذا یکی از اهداف آنالیزهای ژئوشیمیایی دسترسی به این مهم می‌باشد. در مجموع تعداد ۵۰ نمونه مادستون و میکریت از سازند سفیدکوه در برش کال فقیر انتخاب شد (جدول ۱). این مطالعات شامل تغییرات عناصر اصلی و فرعی در نمونه‌ها به صورت نمودار-هایی ارائه می‌شود و با محدوده‌های ارئه شده توسط محققین دیگر مقایسه می‌گردد.

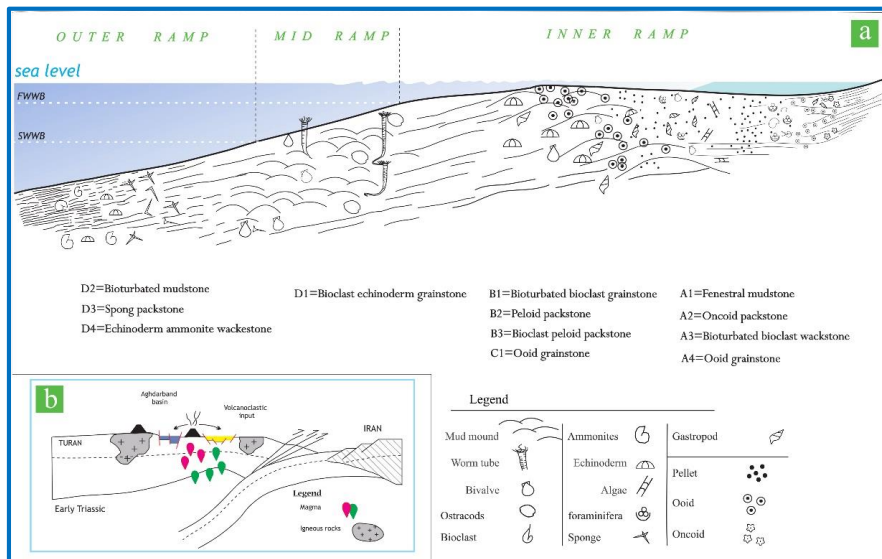
سیمان، اصلی‌ترین فرآیندهای دیاژنزی در این قسمت می‌باشند (شکل ۷ a).

فرآیندهای دیاژنزی

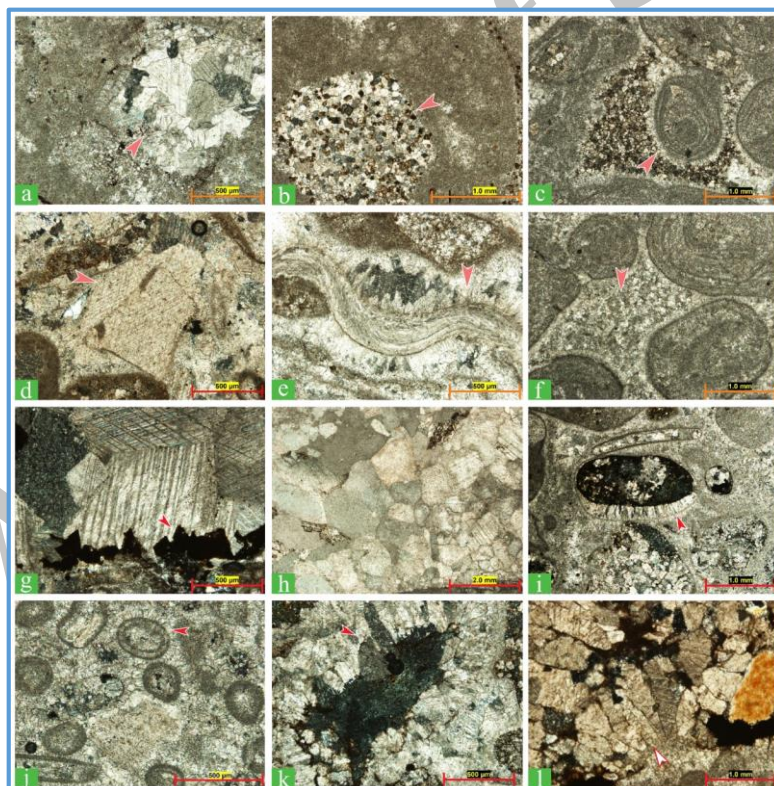
فرآیندهای فیزیکی و شیمیایی که موجب تغییر ویژگی رسوبات در زمان رسوب‌گذاری و حتی پس از نهشته‌شدن می‌گردد، را دیاژنز گویند (مراد و همکاران، ۲۰۱۳). این فرآیندها در سه محیط دیاژنز دریایی، تدفینی و جوی در رسوبات تاثیرگذار است (زارزا و تانر، ۲۰۱۰). فرآیندهای دیاژنزی متنوعی در سازند سفیدکوه وجود داشته (لیاقت، ۱۳۹۱)، که مهم‌ترین آن‌ها به شرح زیر است. فرآیند سیمانی شدن در این سازند بسیار گسترده بوده که از جمله می‌توان به سیمان دروزی (شکل ۹ a) که مربوط به محیط متاثریکی-تدفینی است، پوئیکیلوتوپیک (شکل ۹ b) که مربوط به محیط تدفینی است، هم‌ضخامت (شکل ۹ c) مربوط به محیط دریایی و احتمالاً مشخصه کانی‌شناسی آرگونیتی است، هم محور در (شکل ۹ d) مربوط به محیط دریایی، فیبری (شکل ۱۱ e)، هم‌بعد (شکل ۹ f)، دندان‌سگی (شکل ۹ g) با ترکیب آرگونیتی (مور و همکاران، ۲۰۱۳)، بلوکی (شکل ۹ h) محیط متاثریکی، ثقلی محیط متاثریکی (شکل ۹ i)، منشوری (شکل ۹ j)، تیغه‌ای (شکل ۹ k) محیط دریایی، پخشی (شکل ۹ l) محیط دریایی اشاره نمود. یکی دیگر از گسترده‌ترین فرآیندهای دیاژنز در این سازند دولومیتی شدن است که به اشکال و انواع گوناگون در چهار برش از این سازند مشاهده شده است. این فرآیند به صورت انتخاب شده توسط فابریک (شکل ۱۰ a و b) می‌باشد. با توجه به تقسیم‌بندی (آدابی، ۲۰۰۹) پنج نوع دولومیت در این سازند شناخته شده است (شکل ۱۰ c تا f و شکل ۱۰ h). هم‌چنین انواعی از بلورهای دولومیت



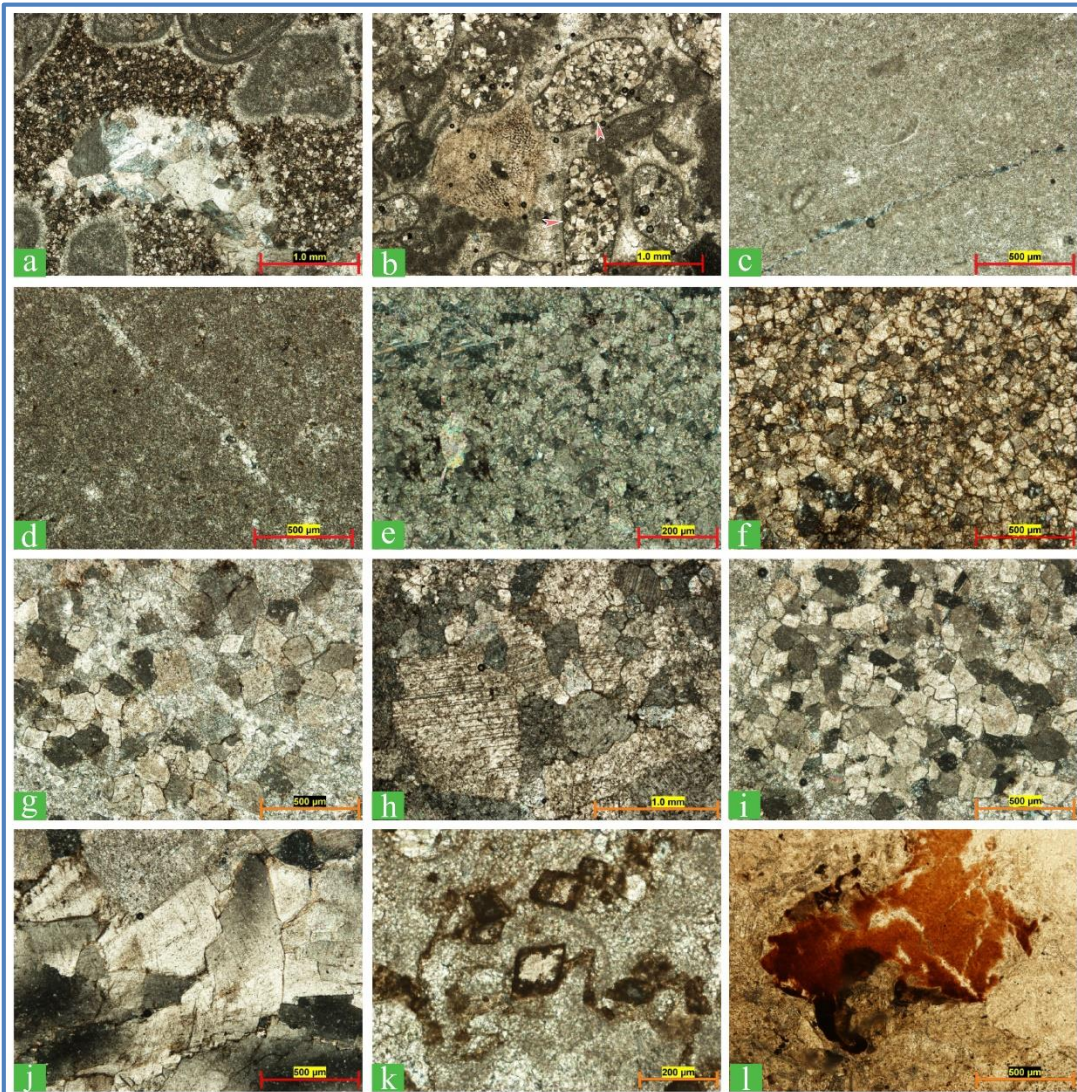
شکل ۷: ریزرساره های مطالعه شده در سازند سفید کوه، (a) ریزرساره فنسترا مادستون پهنه جزرومدی، (b) ریزرساره انکوبید پکستون، (c) ریزرساره بیوکلاست وکستون با آشفتگی زیستی (نماد قرمز نشان دهنده شکم پا)، (d) ریزرساره اایید گرین استون مربوط به کانال های جزرومدی (نماد قرمز نشان دهنده انحلال و سیمانی شدن اایید و تشکیل ایدهای قالبی است، که حاکی از ترکیب اولیه آرگونیتی است)، (e) ریزرساره پلوپید پکستون محیط لاغون، (f) ریزرساره پلوپید پکستون با آشفتگی زیستی محیط لاغون (نماد قرمز نشان دهنده فاورینا)، (g) ریزرساره بیوکلاست پلوپید گرین استون (نماد زرد: گاستروپود، نماد قرمز: پوسته دوکفه ای و نماد صورتی پلوپید. (h) ریزرساره اایید گرین-استون محیط سدی، (i) ریزرساره بیوکلاست اکینودرم گرین استون، (j) ریزرساره مادستون با آشفتگی زیستی (نماد سفید نشان دهنده پوسته استراکد و نماد قرمز آثار لوله های کرمی را نشان می دهد، (k) ریزرساره پکستون با سوزن اسفنج، (l) ریزرساره اکینودرم آمونیت وکستون رمپ بیرونی.



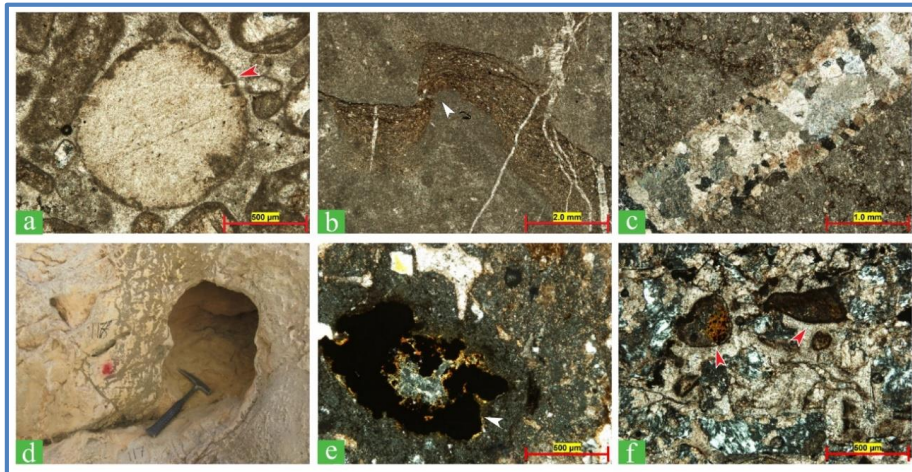
شکل ۸: a) مدل رسوبی سازند سفیدکوه همراه با ریزخساره های موجود (لياقت، ۱۳۹۱)، b) مدل رسوبی رسوبات تریاس پنجه آق دریند (اقتباس از زانچی و همکاران، ۲۰۱۲).



شکل ۹: انواع سیمان‌ها در سازند سفیدکوه: (a) سیمان پوئیکیلوتپیک که در آن بلورهای دولومیت درون کلسیت اسپاری قرار دارد، (c) سیمان هم ضخامت، (d) سیمان هم محور پیرامون خرده فسیل اکینودرم، (e) سیمان فیبری پیرامون بخشی از یک بیوکلسست، (f) سیمان هم بعد، (g) سیمان دندان سگی یا تیغه‌ای، (h) سیمان بلوکی، (i) سیمان ثقلی، (j) سیمان شعاعی پیرامون اییدها، (k) سیمان تیغه‌ای و (l) سیمان پخشی.



شکل ۱۰: دولومیتی شدن از انواع انتخاب کننده فابریک که در (a) زمینه و در (b) در بیوکلاستها صورت گرفته است. با توجه به تقسیم‌بندی دولومیت‌ها توسط (آدابی و همکاران، ۲۰۰۹)، (c) دولومیت نوع ۱ (دولومیکرایت): ۵ میکرون، (d) دولومیت نوع ۲ (دولومیکرواسپاریت): ۴–۱۶ میکرون، (e) دولومیت نوع ۳ (دولواسپاریت): ۶۴–۱۶ میکرون، (f) دولومیت نوع ۴ (دولومیت دانه درشت): ۱۲۵–۶۴ میکرون، (g) بلورهای دولومیت خودشکل و نیمه شکل دار، (h) بلورهای دولومیت بی‌شکل، و به هم فشرده با مرزهای چند بخشی، (i) بلورهای دولومیت صفحه‌ای از نوع (S)، نیمه شکل دار تا بی‌شکل با مرزهای مشترک مستقیم با چندین نقطه اتصالی، (j) دولومیت زین اسپی یا باروک با سطوح بلوری منحنی شکل که در نور پلاریزه، نیز خاموشی موجی یا جارویی قوی را نشان می‌دهند، (k) ددولومیتی شدن دولومیت (انحلال دولومیت و یا جانشینی آن با کلسیت یا کلسیتی شدن)، (l) فرآیند هماتیتی شدن در رسوبات سازند سفیدکوه در برش کال غالک.



شکل ۱۱: (a) قطعه‌ای از یک اکینودرم که از پیرامون تحت تاثیر فرآیند میکریتی شدن قرار گرفته است، (b) استیلوولیت شدن در رسوبات سازند سفیدکوه (استیلوولیت نوع دم اسی)، (c) سیمان دولومیتی پر کننده رگه: نسل اول ریز بلورتر و از سیال با آهن بیشتر تشکیل شده و دولومیت‌های نسل دوم به سمت مرکز رگه درشت‌تر می‌باشند، (d) یک حفره حاکی از انحلال در کربنات‌های سازند سفیدکوه و تشکیل تخلخل حفره‌ای، (e) پیریتی شدن، (f) فسفاتی شدن.

و فهلیان با ترکیب کانی‌شناسی اولیه آراغونیتی قرار گرفته است.

سدیم: اختلاف زیادی بین سدیم در کربنات‌های حاره‌ای عهد حاضر، کربنات‌های مناطق معتمله عهد حاضر، سنگ‌های آهکی حاره‌ای اردویسین گوردن تاسمانیا و سنگ آهک‌های مربوط به مناطق نیمه قطبی سرد پرمنین وجود دارد (برند و وایزر، ۱۹۸۰). تمرکز سدیم در رسوبات عهد حاضر به عواملی همچون درجه شوری، تفریق بیوشیمیایی، اثرات جنبشی^{۲۹}، نقص بلورین، ترکیب کانی‌شناسی و عمق آب بستگی دارد (رائو و آدابی، ۱۹۹۲). مقدار سدیم با افزایش شوری، عمق آب و میزان آراغونیت افزایش می‌یابد (آدابی، ۱۳۹۰). مقدار Na در نمونه‌های سازند سفیدکوه به طور میانگین (۴۹۳ پی پی ام) در تغییر است. ترسیم مقدار سدیم در مقابل استرانسیوم (شکل ۱۲) نشان می‌دهد که عمدۀ نمونه‌های آهکی سازند سفیدکوه در محدوده سروک، فهلیان و مزدوران بوده که این تاییدی بر ترکیب کانی‌شناسی اولیه آراغونیتی است.

مقدار عناصر فرعی و اصلی

استرانسیوم: میزان عنصر استرانسیوم^{۲۷} در نمونه‌های کربناته مناطق حاره‌ای عهد حاضر بین ۸۰۰۰ تا ۱۰۰۰۰ پی پی ام در تغییر است (میلیمن، ۱۹۷۴). این مقدار در نمونه‌های کل کربناته^{۲۸} مناطق معتمله بین ۱۶۰۰ تا ۵۰۰۰ پی پی ام (به طور متوسط ۳۲۵۰ پی پی ام) می‌باشد (آدابی، ۱۳۹۰). مقدار استرانسیوم با افزایش میزان آراغونیت افزایش و با افزایش میزان کلسیت کاهش می‌یابد (رائو و آدابی، ۱۹۹۲؛ اسدی و آدابی، ۲۰۱۳؛ آدابی و همکاران، ۲۰۱۵). میانگین مقدار این عنصر در نمونه‌های میکرایتی سازند سفیدکوه در حدود ۱۱۵۶ پی پی ام در تغییر است. این مقدار پایین‌تر از مقدار نمونه‌های عهد حاضر است، زیرا استرانسیوم در طی دیاژنز متاآریکی کاهش می‌یابد (آدابی و رائو، ۱۹۹۱). مقایسه نمونه‌های آهکی سازند سفیدکوه با محدوده سنگ‌های آهکی سازند مزدوران نیز صورت گرفت (شکل ۱۲ a). به دلیل تشابه کانی‌شناسی، عمدۀ نمونه‌های آنالیز شده در نزدیکی محدوده‌های نمونه‌های آهکی اردویسین گوردن تاسمانیا، مزدوران و درون نمونه‌های سروک

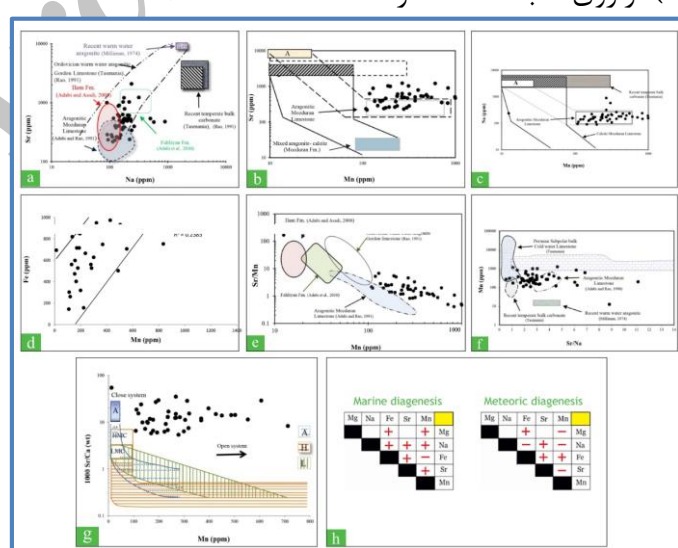
نسبت استرانسیم به سدیم (Sr/Na) در مقابل Mn نسبت استرانسیم به سدیم در مقابل مقدار منگنز در کربنات‌های حاره‌ای و غیر حاره‌ای قدیم و حاضر موجب تفکیک این دو نوع کربنات از یکدیگر می‌شوند (رائو، ۱۹۹۱؛ رائو و آدابی، ۱۹۹۲). در کربنات‌های آراغونیتی حاره‌ای عهد حاضر مقدار منگنز پایین و نسبت استرانسیم به سدیم بالا ($2/9$) تا (5 ، متوسط 4) می‌باشد و این در حالی است که در کربنات‌های کلسیتی معادله عهد حاضر عکس این حالت رخ می‌دهد یعنی مقدار منگنز بالا و نسبت استرانسیم به سدیم پایین (حدود یک، $0/4$) تا ($1/3$) است (آدابی و رائو، ۱۹۹۱). مقدار Sr/Na در نمونه‌های آهکی سازند سفیدکوه با میانگین $5/8$ تغییر می‌کند. تغییرات عنصری Sr/Na در مقابل Mn نمونه‌های آهکی سازند سفیدکوه محدوده سازند سفیدکوه با محدوده آهک‌های آراغونیتی حاره‌ای عهد حاضر (میلیمن، ۱۹۷۴)، سنگ‌های آهکی مزدوران مربوط به بخش کم عمق حوضه (آدابی و رائو، ۱۹۹۱)، سنگ آهک‌های گوردون تاسمانیا (رائو، ۱۹۹۱)، آهک‌های نیمه قطبی 20 پرمین تاسمانیا (رائو، ۱۹۹۱)، مقایسه شده است. نسبت Sr/Na در نمونه‌های آهکی سازند سفیدکوه حاکی از ترکیب کانی‌شناسی اولیه آراغونیتی می‌باشد (شکل ۱۲ f)، قرار گرفته‌اند.

نسبت استرانسیم Sr/Mn در مقابل Mn

بترست در سال ۱۹۷۵ پیشنهاد کرده است که دیاژنر در سنگ‌های آهکی یک فرآیند اتحال مرتبط 21 و ته نشست مجدد می‌باشد. در اثر اتحال آراغونیت و کلسیت دارای منیزیم زیاد نیمه پایدار و تبدیل آنها به کلسیت کم منیزیم پایدار، مقادیر Sr کاهش یافته و بالعکس تمرکز Mn افزایش خواهد یافت. این فرآیند در سطح زمین و توسط نفوذ آبهای متاثریکی به مقدار زیادی تسهیل می‌گردد (مور و

منگنز: مقدار منگنز در سنگ‌های آهکی سازند سفیدکوه با میانگین $632/25$ پی پی ام در تغییر است (شکل ۱۲ b). کربنات‌های آراغونیتی واقع در دریاهای گرم و کم عمق دارای Mn پایینی هستند (کمتر از 50 پی پی ام) (آدابی، ۱۳۹۰)، در حالی که مقدار آن در نمونه‌های کل کربناته مناطق معادله عهد حاضر بیش از 300 پی پی ام است (رائو و آدابی، ۱۹۹۲؛ رائو و امینی، ۱۹۹۵). بالا بودن مقدار منگنز در رسوبات سازند سفیدکوه ناشی از دیاژنر متاثریکی و کم عمق بودن حوضه که خود موجب بالا بودن نرخ رسوب گذاری می‌باشد. علاوه بر این انحلال و دگرسانی بیشتر باعث افزایش تولید Mn می‌گردد (آدابی و همکاران، ۲۰۱۵). تغییرات Mn در برابر Na نیز در نمونه‌های آهکی سازند سفیدکوه در (شکل ۱۲ c) نشان داده شده است. در این شکل محدوده سازند سفیدکوه با محدوده‌های ارائه شده برای سنگ‌های آهکی مزدوران مربوط به بخش کم عمق حوضه (آدابی و رائو، ۱۹۹۱). محدوده آراغونیتی عهد حاضر (میلیمن، ۱۹۷۴) کربنات‌های معادله عهد حاضر (رائو و امینی، ۱۹۹۵) مقایسه شده است. نمونه‌های آهکی سازند سفیدکوه در محدوده نمونه‌های آراغونیتی با ترکیب کانی‌شناسی آراغونیتی قرار گرفته است (شکل ۱۲ b). آهن: مقدار آهن در کلسیت و آراغونیت زیستی نسبت به کلسیت و آراغونیت غیرزیستی افزایش چشمگیری دارد. این افزایش عمدها به دلیل تفرقی بیولوژیکی می‌باشد (آدابی، ۱۳۹۰). میانگین مقادیر آهن در سنگ‌های آهکی سازند سفیدکوه 419 پی پی ام می‌باشد. ترسیم مقادیر Fe در برابر Mn یک روند خطی افزایشی را نشان می‌دهد (شکل ۱۲ d). این افزایش در ارتباط با باز بودن سیستم دیاژنیکی و تاثیرات فرآیندهای دیاژنر متاثریکی در سازند سفیدکوه می‌باشد.

برابر Mn، روند دیاژنز در سیستم‌های بسته و باز قابل تعیین است. روندهای دیاژنتیکی برای آرگونیتی (Ar)، کلسیت با منیزیم بالا (HMC) و کلسیت کم منیزیم (LMC) که به وسیله آب‌های متاثوریکی ثبت شده‌اند در (شکل ۱۲ g) نشان داده شده است. در سیستم دیاژنزی باز با افزایش تبادلات آب به سنگ میزان Sr/Ca کاهش یافته و در نتیجه میزان Sr/Ca فازهای دیاژنزی کمتر از ترکیبات اولیه خواهد بود (آدابی و همکاران، ۲۰۱۵؛ اسدی و آدابی، ۲۰۱۳). در حالی که در سیستم‌های دیاژنتیکی بسته تا نیمه‌بسته^{۳۲} فعل و افعالات آب و سنگ کم است لذا نسبت Sr/Ca فازهای دیاژنزی تغییرات محسوسی نسبت به ترکیبات اولیه نخواهد داشت. به طور کلی کاهش منگنز در کلسیت دیاژنتیکی نشانگر بسته بودن سیستم دیاژنتیکی می‌باشد (برند و وایزر، ۱۹۸۰) و افزایش منگنز نشان دهنده باز بودن سیستم دیاژنتیکی و تاثیر آب‌های احیاکننده می‌باشد. در نمونه‌های آهکی سازند سفید کوه به دلیل بالا بودن مقادیر Sr/Ca و نیز بالا بودن مقادیر منگنز، چنین به نظر می‌رسد که این نمونه‌ها تحت تاثیر دیاژنر متاثوریک در یک سیستم دیاژنتیکی بسته تا کاملاً باز قرار گرفته‌اند.



شکل ۱۲: نتایج آنالیزهای ژئوشیمیایی در رسوبات سازند سفیدکوه (برای توضیحات به متن رجوع شود).

همکاران، ۲۰۱۳) و باعث پایین آوردن نسبت Sr/Mn می‌شود. بنابراین ترسیم نسبت Sr/Mn در مقابل Mn می‌تواند به عنوان معیاری مفید برای تخمین میزان انحلال سنگ‌ها مورد استفاده قرار گیرد (رائو، ۱۹۹۱). در (شکل e-۱۲) میزان Sr/Mn در برابر Mn ترسیم شده است. دراین نمودار محدوده‌های آهک‌های آرگونیتی سازند مزدوران (آدابی و رائو، ۱۹۹۱)، سازند فهليان (آدابی و همکاران، ۲۰۱۰) و سازند ايلام (آدابی و اسدی، ۲۰۰۸) با ترکیب کانی‌شناسی اولیه آرگونیتی ترسیم شده است. به طوری که دیده می‌شود اکثر نمونه‌ها در محدوده‌ی جدا از آهک‌های عنوان شده واقع شده‌اند و حاکی از دگرسانی بیشتر به دلیل سیستم دیاژنتیکی نسبتاً باز و انحلال بیشتر در نمونه‌های مورد مطالعه است.

نسبت استرانسیوم به کلسیم (Sr/Ca) در مقابل Mn
فرآیند دیاژنز در سنگ‌های کربناته می‌تواند باعث ازدیاد یا کاهش در عناصر اولیه و ایزوتوپ‌های موجود در سنگ‌های کربناته در مقایسه با کربنات‌های اولیه شود، که این خود وابسته به تاثیر آب‌های جوی، ورود آب‌های زیر زمینی و پارامترهای دفنی است (زارزا و ترنر، ۲۰۱۰). از روی نسبت Sr/Ca در

ختم می‌شود. این سازند در سه برش کال انگور، کال عنايه و کال غالک دارای ضخامت‌های متفاوتی بوده و نیز مرزهای فوقانی و تحتانی متفاوتی دارد. مقایسه رخساره‌ها در چهار برش کال فقیر، کال انگور، کال غالک و کال عنايه از سازند سفیدکوه بیانگر تشکیل رسوبات آن در یک رمپ همشیب کربناته دارای محیط‌های پهنه جذرومدی تا کمربند رخساره‌ای دریای باز می‌باشد. فرآیندهای دیاژنticی مختلفی نظیر انحلال، سیمانی شدن، تراکم (فیزیکی و شیمیایی)، نئومورفیسم، دولومیتی شدن و میکراتی شدن بر روی نهشته‌های کربناته سازند سفیدکوه تاثیرگذار بوده است. براساس مطالعات پتروگرافی ۵ نوع دولومیت شامل دولومیکرایت، دولومیکرواسپارایت، دولواسپارایت، دولومیت زین اسبی و سیمان دولومیتی در این سازندها شناسایی شده است. نتایج حاصل از آنالیز-های عنصری و ترسیم این مقادیر در کنار یکدیگر حاکی از این است که آهک‌های سازند سفیدکوه در برش کال فقیر دارای کانی‌شناسی اولیه آراغونیتی و بوده است. قرارگیری نمونه‌های کربناته سازند سفیدکوه در حوالی محدوده رسوبات آراغونیتی آهک‌های گوردون تاسمانیا (استرالیا)، مزدوران ایران حاکی از تشکیل این سازند در شرایط محیطی مشابه با سازند مزدوران بوده، که به لحاظ موقعیت مکانی و محل تشکیل می‌تواند قابل توجیه باشد.

سپاسگزاری

در اینجا از مدیریت محترم اکتشاف شرکت ملی نفت ایران و مدیریت پژوهش و فناوری این سازمان به جهت حمایت مالی و همکاری برای فراهم نمودن امکانات لازم، مدیریت گروه زمین‌شناسی دانشگاه شهیدبهشتی تهران به سبب در اختیار گذاشتن امکانات آزمایشگاهی صمیمانه سپاسگزاری می-گردد.

تفکیک محیط‌های مختلف دیاژنticی عنصری مطالعات ژئوشیمی عصری
محققین بسیاری در خصوص اهمیت عناصر اصلی و فرعی در تشخیص محیط‌های رسویی و دیاژنticی مطالب جامعی را ارائه نموده‌اند. از آنجایی که ترکیب شیمیایی سنگ آهک‌ها انعکاسی از شرایط فیزیکو‌شیمیایی حاکم بر محیط رسویی و اثرات بعدی دیاژنticی است، روند اطلاعات عصری می-تواند اطلاعاتی در خصوص ماهیت و تاریخچه دیاژنticی موثر بر کربناتهای بعد از عمل رسوب-گذاری ارائه نماید. اصولاً تغییرات شیمیایی در کربناتهای در محدوده محیط‌های دریایی، متاوریکی و یا تدفینی قرار دارند و هریک دارای ویژگی‌های شیمیایی خاصی هستند. برای تشخیص محیط‌های دیاژنticی نهشته‌های کربناته، می‌توان از نمودارهای عنصر در مقابل عنصر استفاده نمود. واینفیلد و همکاران ۱۹۹۶ از تلفیق داده‌های عصری منتشر شده در مجلات مختلف توانسته‌اند از روی شیب رگرسیون خطی^{۳۳} روندهای مثبت و منفی عناصر در مقابل عناصر^{۳۴} را تعیین نموده و بر همین اساس محیط‌های دیاژنticی دریایی، متاوریکی و تدفینی را از یکدیگر تفکیک نمایند. روندهای رسم شده عناصر در مقابل یکدیگر برای محیط‌های دیاژنticی آهکی سازند سفیدکوه نشان دهنده می‌دهد که فرآیند غالب دیاژنticی از نوع دیاژنر متاوریکی و دریایی می‌باشد (شکل ۱۲(h)).

نتیجه‌گیری

سازند سفیدکوه در برش کال فقیر حدود ۲۱۵ متر ضخامت دارد و دارای سن اسکیتین پسین بوده که دارای لیتولوژی آهکی، شامل آهک نازک لایه، متوسط لایه، دولومیتی که شامل دولومیت نازک لایه متوسط لایه است که در قاعده با دگرشیبی بر روی سازند قره قیطان و در راس به سازند نظرکرده

جدول ۱: نتایج آنالیز ژئوشیمی ۵۰ نمونه آهکی از سازند سفید کوه در برش کال فقیر.

Sample No.	Ca (%)	Mg (%)	Sr (ppm)	Na (ppm)	Fe (ppm)	Mn (ppm)
1922	36.25	3.2	1030.97	216.99	1102.77	312.58
1924	36.04	16.6	606.73	216.99	1377	238.41
1925	36.21	4.2	538.04	180.57	973.61	426.49
1926	38.38	0.96	1030	170.49	715.27	188.07
1927	38.52	27	2093.6	237.57	694.44	12.5
1937	40	8.5	610.77	204.1	948.61	320.52
1938	-	0	501.68	146.96	748.61	368.21
1939	-	0	283.5	154.8	665.27	235.76
1940	38.38	9.1	489.56	200.18	527	283.44
1941	38	174.3	525.92	229.31	2802	450.33
1942	-	289	376.43	168.81	1069.44	227.81
1945	40	102.4	404.71	124.55	473.61	153.64
1950	-	137	517.84	172.73	1156.94	264.9
1952	-	41	630.97	167.69	865.27	267.54
1959	-	475	340.06	238.84	2677.77	826.49
1960	35	7.5	469.63	154.8	2373	998.67
1962	-	116	505.72	190.1	3965	990.72
1963	38	-5.9	283.5	107.74	1048.61	317.88
1964	-	9.6	485.52			
1965	-	170	1212	176.65	3294	606.62
1966	40	86.3	788.55	180.57	2361	397.35
1968	35.07	92.7	1228.95	317.83	1815	267.54
1969	-	0	534	210.82	1069.44	235.76
1969	-	16	461.27	170.49	861	177.48
1971	36.94	0	881.48	141.36	561.11	129.8
1972	11.77	0	218	113.35	302.77	111.52
1980	35.96	-0.375	235	94.3	144.44	108.6
1982	-	-19.3	263	131.83	156.94	222.51
1984	40	-12	287.54	90.94	1448.61	145.69
1988	38.28	0	251.17	148.64	527.77	177.48
1994	-	10	582.49	146.4	502.77	487.41
1995	-	-0.5	538	501.03	1765	1157
1996	-	-14.4	489.56	233.8	706.94	553.64
1999	36.63	0	521.88	196.23	931.94	503.31
2001	-	-17.7	626.93	138.56	261.11	119.2
2002	34.37	-15	404.71	143.6	402.77	164.63
2008	39	-2.1	384.51	178.89	819.61	135.09
2009	39	0	376.43	128.47	598.61	156.29
2010	34	0	998.63	89.82	319.44	198.67
2011	36.49	26	396.63	264.05	1056.94	368.21
2012	-	1	352.18	166.01	881.94	712.58
2013	-	27.8	469.36	575.53	2848	304.63
2014	38.75	60	477	894.86	3265	267.54
2019	-	2.1	529.96	188.42	911.11	235.76
2023	-	-12.8	263.29	111.11	848.61	193.37
2024	40	-3.7	253.5	141.92	627.77	299.33
2025	-	-13	230.97	123.43	561.11	278.14
2027	32	0	901.68	146.4	752.77	834.43
2028	40	0	542	116.71	1211	1252
2030	-	-1.6	239.057	220.91	715.27	169.53

پانوشت

1-Imbricated zone	19-Oomould
2-Selective sampling	20-Seaward shoal
3-Subtropical	21-Worm tube
4-oomould	22-Mud Mounds
5-Fenestral Mudstone	23-Burrow
6-Gromelus	24-SWWB
7-Clotted fabric	25-Sponge packstone
8-Oncoid packstone	26-Echinoderm ammonite wackestone
9- Bioturbated bioclast wackestone	27-Sr
10-Ooid grainstone	28-Bulk Carbonate
11-Super facial ooids	29-Kinetic effects
12-Peloid Packstone	30-Sub polar
13-Coprolite (faverina)	31-Wet dissolution
14-Bioturbated bioclast wackestone	32-Closed and Semi-closed diagenetic system
15-Rework	33-Slope of linear regression
16-Bioclast peloid packstone	34-Element-element
17-Leeward shoal	
18-Concentric ooids	

منابع

- لیاقت، م.، ۱۳۹۱. "محیط رسوی، دیاژنر، ژئوشیمی و چینه‌نگاری سکانسی سازندهای سفید-کوه و نظرکرده در پنجره تکتونیکی آقدربند، شرق حوضه کپه داغ"، پایان‌نامه کارشناسی ارشد، دانشگاه شهید بهشتی تهران، ۳۴۱ ص.
- آدابی، م.ح.، ۱۳۹۰. ژئوشیمی رسوی، انتشارات آرین زمین، چاپ دوم، ۵۰۳ ص.
- آقاباتی، ع.، ۱۳۸۸. فرهنگ چینه‌شناسی ایران: انتشارات سازمان زمین‌شناسی و اکتشاف معدنی کشور، ص. ۵۴۹-۵۹۲.
- آقاباتی، ع.، ۱۳۹۰. واحدهای تکتونواستراتیگرافی ایران: سازمان زمین‌شناسی و اکتشاف معدنی کشور، ۷ ص.

- Adabi, M.H., Kakemem, U. and Sadeghi, A., 2015. Sedimentary facies, depositional environment, and sequence stratigraphy of Oligocene–Miocene shallow water carbonate from the Rig Mountain, Zagros basin (SW Iran): Carbonates and Evaporites, v. 23 (2), p. 1-17.
- Adabi, M.H., 2009. Multistage dolomitization of Upper Jurassic Mozdouran Formation, Kopet-Dagh, and N.E. Iran: Carbonates and evaporates, v. 24(1), p.16-32.
- Adabi, M.H. and Rao, C.P., 1991. Petrographic and geochemical evidence

for original aragonite mineralogy of Upper Jurassic carbonates (Mozduran Formation), Sarakhs area, Iran: Sedimentary Geology, v. 72, p. 253-167.

-Adabi, M.H., Salehi, M.A. and Ghobeishavi, A., 2010. Depositional environment, sequence stratigraphy and geochemistry of Lower Cretaceous carbonates (Fahliyan Foemation), Southwest Iran, Journal of Asian Earth Sciences, v. 39, p. 148-160.

-Adabi, M.H. and Mehmandosti, E.A., 2008. Microfacies and geochemistry of the Ilam Formation in the Tang-E Rashid

- area, Izeh, SW Iran. *J. Asian Earth Sciences*, v. 33, p. 267-277.
- Afshar-Harb, A., 1979. The stratigraphy, tectonics and petroleum geology of the Kopet-Dagh region Northern Iran, A Thesis submitted for the degree of Doctor of Philosophy in petroleum geology, University of London, 316 p.
- Afshar-Harb, A., 1980. Prediction of oil and gas zones in the Kopet Dagh region – northeast Iran, National Iranian Oil Company.
- Alavi, M., Vaziri, H., Seyed-Emami, K. and Lasemi, Y., 1997. The Triassic and associated rocks of the Nakhlak and Aghdarband areas in central and northeastern Iran as remnants of the southern Turanian active continental margin, Geological Society of America, *Bulletin*, v. 109, p. 1563-1575.
- Asadi, E. and Adabi, M.H., 2013. Application of geochemical data as evidence of water-rock interaction in the Sarvak Formation, Izeh Zone, Zagros, Iran: *Procedia Earth and Planetary Science*, v. 7, p. 31-37.
- Balini, M., Nicora, A., Berra, F., Garzanti, E., Levera, M., Mattei, M. and Mossavvari, F., 2009. The Triassic stratigraphic succession of Nakhlak (Central Iran), a record from an active margin: Geological Society, London, Special Publications, v. 312(1), p. 287-321.
- Bathurst, R.G.C., 1975. Carbonate Sediments and their Diagenesis, Developments in Sedimentology, v. 12, Elsevier, Amsterdam, 658 p.
- Baud, A. and Brander, R., 1991. "The Sefid Kuh limestone- A late Lower Triassic carbonate ramp (Aghdarband, NE Iran)", *Abhandlungen der Geologischen Bundesanstalt*, v. 38: p. 111-123.
- Baud, A., Stampfli, G. and Steen, D., 1991. The Triassic Aghdarband group: Volcanism and geological evolution, *Abhandlungen der geologischen Bundesanstalt*, v. 38, p. 125-137.
- Bjørlykke, K., 2015. *Petroleum Geoscience: from Sedimentary Environments to Rock Physics* (2nd edition): Springer-verlag Berlin Heidelberg, 508 p.
- Boggs, S.J., 2015. *Principles of Sedimentology and Stratigraphy* (6th edition): University of Oregon., 660 p.
- Braithwaite, C.J., Rizzi, G. and Darke, G., 2004. The geometry and petrogenesis of dolomite hydrocarbon reservoirs: introduction. Geological Society, London, Special Publications, v. 235(1), p. 1-6.
- Brand, U. and Veizer, J., 1980. Chemical diagenesis of multicomponent carbonate system, II: stable isotopes, *Journal of Sedimentary Petrology*, v. 51, p. 987-997.
- Dickson, J.A.D., 1966. Carbonate identification and genesis as revealed by staining: *Journal of Sedimentary Petrology*, v. 36. p. 491-505.
- Dunham, R.J., 1962. Classification of carbonate rocks according to depositional texture: American Association of Petroleum Geology, v. 1, p. 108-121.
- Flügel, E. and Munnecke, A., 2010. *Microfacies of Carbonate Rocks, Analysis, Interpretation and Application*: Springer, Berlin, 1006 p.
- Henrix, M.S. and Geregority, A.D., 2001. Paleozoic and Mezozoic Tectonic Evolution of Central and Eastern Asia, The Geological Society of America. Memoir 194, 441 p.
- Krystyn, L. and Tatzreite, R.F., 1991. Middle Triassic ammonoids from Aghdarband (NE-Iran) and their paleobiogeographical significance. *Abhandlungen der Geologischen Bundesanstalt*, v. 38, p. 139-163.
- Monty, C.L.V., Bosence, D.W.J. and Pratt, B.R., 1995. Carbonate Mud-Mounds_ their origin and evolution:

- International Association of Sedimentologists, 537 p.
- Moore, C.H. and Wade, W.J., 2013. Carbonate Reservoirs, Porosity and Diagenesis in a Sequence Stratigraphic Framework (2nd edition): Developments in Sedimentology, No. 67: Elsevier New York, 347 p.
- Morad, S., Ketzer, J.M. and De Ros, L.F., 2013. Linking Diagenesis to Sequence Stratigraphy: An Integrated Tool for Understanding and Predicting Reservoir Quality Distribution: SEPM, Wiley Blackwell, 522 p.
- Rao, C.P., 1991. Geochemical differences between subtropical (Ordovician), temperate (Recent and Pleistocene) and subpolar (Permian) carbonates, Tasmania, Australia: Carbonates and Evaporites, v. 10, p. 114-123.
- Rao, C.P. and Adabi, M.H., 1992. Carbonate minerals, major and minor elements and oxygen and carbon isotopes and their variation with water depth in cool, temperate carbonates, western Tasmania, Australia, Marine Geology, v. 103, p. 249-272.
- Rao, C.P. and Amini, Z.Z., 1995. Faunal relationship to grain-size, mineralogy and geochemistry in recent temperate shelf carbonates, western Tasmania, Australia: Carbonates and Evaporites, v. 10, p. 114-123.
- Ruttner, A.W., 1984. The pre-Liassic basement of the eastern Kopet Dagh rang: Neuse Jahrbuch fur geologie und palantologie", Abhandlungen, v.168, p. 256-268.
- Ruttner, A.W., 1991a. "Geology of the Aghdarband area (Kopet Dagh NE Iran)", Abhandlungen Der Geologischen Bundesanstalt, v. 38, p. 7-79.
- Ruttner, A.W., 1991b. "The Triassic or Aghdarband (Aq Darband) and its Pre-Triassic Frame, ICPG Project. No. 73/1/14. 252 p.
- Ruttner, A.W., 1993. "Southern borderland of Triassic Laurasia in northeast Iran", Geologisches Rundschau, v. 82, p. 110-120.
- Scholle, P. and Spearing, D., 1998. Sandstone Depositional Environments. Tulsa, Oklahoma 74101, U.S.A. American Association of Petroleum Geology. #31, 404 p.
- Seyed-Emami, K., 2003. Triaasic in Iran: Journal of Facies, v. 48, p. 91-106.
- Westphal, H., Rigel, B. and Eberli, P., 2010. Carbonate depositional systems: Assessing dimensions and controlling parameters: The Bahamas, Belize and the Persian/Arabian Gulf: Springer science+business media, 235 p.
- Wilson, J.L., 2013. (2nd ed.), Carbonate Facies in Geologic History: Springer Berlin, 471 p.
- Winefield, P.R., Nelson, C.S. and Hodder, W.A.P., 1996. Discriminating temperate carbonates and their diagenesis environments using bulk elemental geochemistry a raconnaissance study based on New Zealand Cenozoic limestones, Carbonates and Evaporites, v. 11, p. 19-31.
- Zanchi, A., Zanchetta, S., Garzanti, E., Balini, M., Berra, F., Mattei, M. and Muttoni, G., 2009. The Cimmerian evolution of the Nakhla-Anarak area, Central Iran, and its bearing for the reconstruction of the history of the Eurasian margin: Geological Society, London, Special Publications, v. 312(1), p. 261-286.
- Zarza, A.M. and Tanner, L.H., 2010. Carbonates in Continental Settings Geochemistry, Diagenesis an Applications: Elsevier, 319 p.